

ang Z.J., Wang V.Q., Chu C.W. // Phys. Rev. Lett. 1987. V. 58. N 9. P. 908-910.

[5] Uchida S., Takagi H., Kitazawa K., Tanaka S. // Jap. J. Appl. Phys. 1987. V. 26. N 1. L*-L2.

[6] Müller K.A., Takashige M., Bednorz J.G. // Phys. Rev. Lett. 1987. V. 58. N 11. P. 1143-1146.

Поступило в Редакцию
1 марта 1989 г.

Письма в ЖТФ, том 15, вып. 9

12 мая 1989 г.

04

К ВОПРОСУ О ХАРАКТЕРЕ ДВИЖЕНИЯ ИОНОВ В МЕЖЭЛЕКТРОДНОМ ПРОМЕЖУТКЕ СИЛЬНОТОЧНОЙ ВАКУУМНОЙ ДУГИ

А.А. Логачев, Н.К. Митрофанов,
Б.И. Циркель, С.М. Школьник

В последнее десятилетие заметно вырос интерес к исследованием коротких ($\frac{Z}{d} < 1$, здесь Z – длина межэлектродного промежутка, d – диаметр электродов) сильноточных вакуумных дуговых разрядов (СВДР). Исследования развиваются в связи с проблемой создания сильноточных вакуумных выключателей и разрядников. При этом одним из важнейших является вопрос о характере движения и энергии ионов в межэлектродном промежутке (МЭП). От ответа на него зависят подходы к решению таких центральных при техническом использовании СВДР проблем, как увеличение тока, критического для образования анодного пятна, и скорости восстановления электропрочности промежутка после погасания дуги.

Известно, что на катоде СВДР одновременно горят десятки пятен,¹ которые являются источниками высокоскоростных (энергия направленного движения $\sim 10^2$ эВ) сильноионизованных плазменных струй [2]. Обычно предполагается, что струи из отдельных пятен эффективно перемешиваются и МЭП дуги заполняется однородным столбом столкновительной, по крайней мере для электронов, плазмы, опирающимся на хаотически разбросанные по катоду пятна [3]. В работах [4, 5], по мнению авторов, получены результаты, показывающие, что ионы также претерпевают в МЭП много столкновений, их движение хаотизуется, (соответствующая $I_i \approx 10$ эВ), а скорость направленного движения мала по сравнению с тепловой. Механизм

¹ Максимальный ток, пропускаемый пятном $I_p \sim 10^2$ А. В частности, для меди $I_p \approx 75$ А [1].

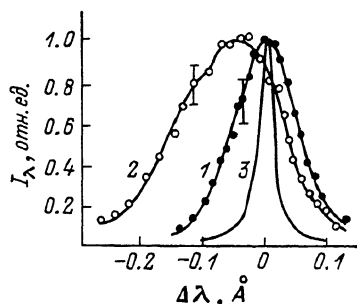
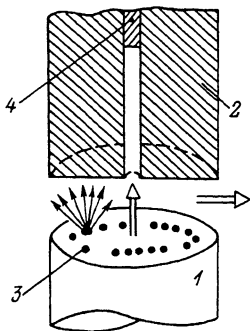


Рис. 1. 1 – катод, 2 – анод, 3 – кольцо пятен на катоде, 4 – кварцевое волокно. Стрелками указаны направления вывода излучения.

Рис. 2. Контура спектральной линии Cu II ($\lambda = 4555.9 \text{ \AA}$). 1 – наблюдение поперек оси разряда, 2 – вдоль оси, 3 – аппаратный контур установки.

потери импульса катодными струями при таком перемешивании остается неясным. Выводы о характере движения ионов были сделаны в [4, 5] из результатов измерений контура спектральной линии Cu II $\lambda = 4555.9 \text{ \AA}$ при наблюдении поперек оси разряда.

В явном противоречии с такими представлениями находятся результаты измерений односторонним зондом, рабочая поверхность которого различным образом ориентировалась в МЭП [6]. Полученные в этой работе результаты хорошо описываются моделью бесстолкновительного разлета ионов из катодных пятен (пятна расположены на катоде кольцом, диаметр которого растет со временем [7], разлет струи из пятна подчиняется закону косинуса, скорость ионов v не зависит от угла вылета [2]). В [6] указано, что противоречие может быть устранено, поскольку результаты работ [4, 5] допускают принципиально иное толкование. Действительно, рассчитанный контур спектральной линии излучения иона из плазмы, описываемой такой моделью, лишь в далеких крыльях отличается от измеренного в [4, 5], т.е. различие лежит за пределами точности эксперимента. Привязка измеренного и рассчитанного контуров по полуширине позволяет определить скорость разлета ионов в описанной модели, $v \lesssim 10^6 \text{ см/с}$.

Настоящая работа ставилась с целью получения дополнительных данных о характере движения ионов в МЭП СВДР. Измерялись контуры спектральной линии Cu II $\lambda = 4555.9 \text{ \AA}$ при наблюдении поперек и вдоль оси вакуумного дугового разряда, горевшего между торцевыми медными электродами ($d = 20 \text{ мм}$, $Z = 6-8 \text{ мм}$) (рис. 1). Разряд питался одночными прямоугольными импульсами тока ($I \leq 1.5 \text{ кA}$, $\tau \leq 2 \text{ мс}$, длительность переднего фронта $\approx 100 \text{ мкс}$). Подробно экспериментальная установка и электрические измерения

описаны в [8]. Оптическая система состояла из интерферометра Фабри-Перо, скрещенного с монохроматором МДР-28, регистрация фотоэлектрическая в режиме счета фотонов (временное разрешение – время стробирования частотомера – 60–100 мкс). Контур измерялся по точкам при сканировании наклоном интерферометра. Значение в каждой точке получалось усреднением по десяти импульсам. Каждое измерение спектральной интенсивности по контуру нормировалось на интегральную интенсивность линии в данном импульсе (перед интерферометром была установлена светоделительная пластинка, и часть света направлялась на щель монохроматора МДР-3 с фотоэлектрической регистрацией). Остировка установки и контроль несмещенного положения исследуемой линии осуществлялись с помощью спектральной лампы ЛТ-2 с полым катодом из меди. Полуширина аппаратного контура установки 0.025 Å. Вдоль оси разряда излучение выводилось с помощью кварцевого волокна Ø 0.8 мм, введенного через отверстие в аноде. Пространственное разрешение \approx 1.5 мм. Измерения проводились через 0.5 мс после поджига разряда. К этому времени диаметр кольца пятен на катоде \approx 12 мм [6]. Поэтому в момент измерения пятна оказывались, по крайней мере, в 5 мм от границы зоны видимости оптической системы. В поперечном направлении излучение собиралось по диаметру разряда из цилиндрической области, отстоящей от катода на 5 мм. Пространственное разрешение \leq 1 мм.

Результаты измерений показаны на рис. 2. Здесь же приведен аппаратный контур установки. Видно, что при наблюдении поперек оси разряда получается уширенный симметричный несмещенный контур (1), полуширина которого удовлетворительно согласуется с результатами измерений [4]. В этой работе проведен анализ возможных механизмов уширения спектральной линии иона меди $\lambda = 4555.9 \text{ \AA}$, показавший, что наблюдаемое уширение может иметь только допплеровскую природу. Сравнение экспериментального контура с расчетом по описанной выше модели дает для скорости направленного движения значение $v \approx (7-8) \cdot 10^5 \text{ см/с}$.

При наблюдении вдоль оси разряда получился смещенный в синюю область несимметричный сильно уширенный контур (2). Контура (1) и (2) невозможно восместить сдвигом по горизонтальной оси. Это явно указывает на неадекватность модели движения ионов в МЭП, предложенной в [4, 5], реальной ситуации. В рамках рассматриваемой нами модели так же имеются трудности – невозможно объяснить „красное“ крыло измеренного контура. По-видимому, в МЭП коротких СВДР существует некоторая фоновая плазма, движение ионов в которой хаотизовано. Существование такого фона подтверждают и измерения односторонним зондом [6].

На наличие рассеянных ионов в вакуумных дуговых разрядах указывалось ранее различными авторами [9, 10]. Вопрос об их происхождении является дискуссионным. Рассматриваются две возможности: отражение от анода и столкновения в заполняющей МЭП плазме.

Анализ процесса ион-атомной эмиссии² в условиях СВДР позволяет предположить, что коэффициент самораспыления меди может достигать здесь величины $\alpha \lesssim 1$ [11]. Оценка концентрации фоновой плазмы (из результатов зондовых измерений [6]) показывает, что в развитом СВДР она может быть сравнима с концентрацией быстрых ионов из катодных пятен. Если столь высокую концентрацию фона связать с наличием ион-ионных столкновений, то возникнут упомянутые выше трудности с законом сохранения импульса. Предполагая, что „красное” крыло контура (2) связано с эффективным распылением анода (средняя энергия распыленных частиц $\approx (3-5)$ эВ [12]), можно в рамках предлагаемой модели оценить энергию направленного движения ионов в МЭП из „синего” крыла контура как $v \approx \approx (8-9) \cdot 10^5$ см/с. При этом легко видеть, что быстрые ионы не будут рассеиваться на ионах фоновой плазмы, даже если концентрация фона $n \sim 10^{14}-10^{15}$ см⁻³.

В заключение подчеркнем: вне зависимости от модели, полученные нами экспериментальные результаты отчетливо показывают, что в МЭП коротких СВДР существует значительная концентрация быстрых ионов, энергия направленного движения которых близка к измеренной в струях из одиночных пятен в слаботочных разрядах.

Список литературы

- [1] Diakov B.E., Holmes R. // J.Phys.D: Appl. Phys. 1971. V. 4. N 4. P. 504-509.
- [2] Плютто А.А., Рыжков В.И., Калин А.Г. // ЖЭТФ. 1964. Т. 47. № 2. С. 494-507.
- [3] Boxman R.L., Goldsmith S. // J. Appl. Phys. 1983. V. 54. N 2. P. 592-602.
- [4] Scheelkens H., Niessen F.H.M. // Proc. 7th. Int. Conf. Gas. Disch. and Appl. London, 1982. P. 55-58.
- [5] Scheelkens H. // J. Appl. Phys. 1983. V. 54. N 1. P. 144-149.
- [6] Afanas'ev W.D., Djuzhev G.A., Shkolnik S.M., Yur'ev V.G. // Proc. XIII ISDEV. Paris. 1988. P. 220-222.
- [7] Sherman J.C., Webster R., Jenkins J.E., Holmes R. // J.Phys. D: Appl. Phys. 1975. V. 8. N 6. P. 696-702.
- [8] Shkolnik S.M. // IEEE Trans. Plas. Sci. 1985. V. PS-13. N 5. P. 336-338.
- [9] Zalycki L., Kutzner J. // Proc. VII ISDEV. Novosibirsk. 1976. P. 297-302.

² В МЭП коротких СВДР температура электронов $\approx (2-3)$ эВ , поэтому появившиеся в результате ион-атомной эмиссии атомы ионизуются в непосредственной близости от анода.

- [10] Tuma D.T., Chen S.I., Davies D.K. // J. Appl. Phys. 1978. V. 49. N 7. P. 3821-3831.
- [11] Дюжев Г.А., Евласов В.Ю., Школьник С.М. // Тез. докл. X Всесоюзн. конф. по ГИТП. 1986. Минск. Ч. 1. С. 123-124.
- [12] Вернер Г. // В кн.: Электронная и ионная спектроскопия твердых тел. / Под ред. Фирменса Л. и др. М.: Мир, 1981. С. 345-464.

Физико-технический институт
им. А.Ф. Иоффе АН СССР,
Ленинград

Поступило в Редакцию
22 марта 1989 г.

Письма в ЖТФ, том 15, вып. 9

12 мая 1989 г.

04; 07

ПРОБОЙ ВОЗДУХА ВБЛИЗИ ПОВЕРХНОСТИ МИШЕНИ
ЛАЗЕРНЫМ ИЗЛУЧЕНИЕМ
ДАЛЬНЕГО ИНФРАКРАСНОГО ДИАПАЗОНА

В.А. Батанов, А.Ю. Волков,
К.Ю. Кузьмин, И.А. Леснов,
С.В. Тимофеев, В.Б. Флеров

Известно, что пороги пробоя газа, окружающего мишень, значительно уменьшаются с увеличением длины волны лазерного излучения [1]. Об этом, в частности, свидетельствуют экспериментальные данные [2], полученные в ИК диапазоне (от 1.3 до 10.6 мкм). Плазмообразование вблизи поверхностей мишеней, инициируемое излучением более длинноволновой области спектра, практически не исследовано. В настоящее время эксперименты такого рода могут быть осуществлены с помощью перестраиваемых лазеров с оптической накачкой рабочей среды, излучающих в дальнем инфракрасном (ДИК) диапазоне.

В данной работе исследовались пороги пробоя воздуха у поверхности металлической мишени под воздействием импульсов излучения с $\lambda = 90.5$ мкм и $\lambda = 152$ мкм. Высокие плотности мощности излучения, достаточные для наблюдения эффектов плазмообразования, обеспечивались при помощи ДИК лазера на аммиаке [3, 4]. Проведено экспериментальное сравнение с данными по пробою на длине волны $\lambda = 9.29$ мкм.

Конструктивно лазер состоял из ДИК кюветы, заполненной рабочим веществом, и перестраиваемого TEA CO₂ лазера накачки. Селективный резонатор лазера накачки, был образован дифракционной решеткой типа эшелетт (100 штрихов-мм, угол блеска 30°), установленной в автоколлимационном режиме и глухим зеркалом с радиусом примерно 10 м. Вывод излучения накачки осуществлялся